

## 割裂試験からみた A-E 特性について

京都大学工学部 小林昭一

大津政康

京都大学学生 ○松尾哲彦

## 1. はじめに

割裂試験は、岩質材料の引張強度を求める試験として標準的なものであり、最も広く用いられる方法である。この試験法は、円柱供試体に直徑方向に對向して圧縮力を加えると、この直徑上には、それと垂直方向にはほぼ一様な引張主応力が生じ、この応力によって引張破壊(破断)が起ることを前提としている。しかし、果して、破壊は引張主応力だけによらず、生じるかどうか、また、最大引張ひずみに対する破壊の可能性はどうか、さらに一体一様に瞬間に全断面が破断するのかどうかなどといふ。この疑問に答えるためには、実験的検証する以外に方法はない。

本研究は、上記の疑問を解くことを意図して、最近非破壊試験法としてニターリング(2注目立方式)によってアコースティックエミッション法(以下 A-E 法と略す)を用いて、試験時のエナターリングを行ない、A-E 特性を検討すると同時に、供試体内の破壊過程を推定したものである。

## 2. 試験概要

i) 供試体寸法:  $\phi 15\text{cm} \times 15\text{cm}$ , ii) 供試体種類: A (水:セメント:砂 = 0.6:1:2,  $\sigma_B = 440\text{kg/cm}^2$ ), B (水:セメント:砂 = 0.3:1:0.5,  $\sigma_B = 390\text{kg/cm}^2$ ), C (水:セメント:砂 = 0.8:1:5,  $\sigma_B = 68\text{kg/cm}^2$ ), D (水:セメント:粗骨材 = 0.64:1:2:4,  $\sigma_B = 310\text{kg/cm}^2$ ), iii) 育生: 水中  $20^\circ\text{C}$

iv) 載荷方法: 試験機剛性を増大させる目的で、I-200-150-5<sup>mm</sup>を介して載荷 (Fig.1)

割裂時のロードセル荷重は、 $8/5 \sim 8/10$ とした。

v) A-E 測定: A-E 装置のプロックダイヤグラムを Fig.2 に示す。

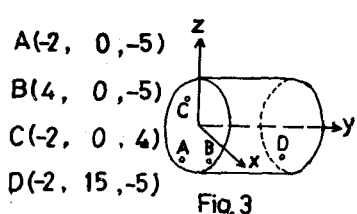
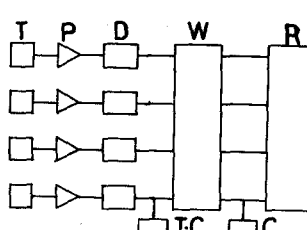
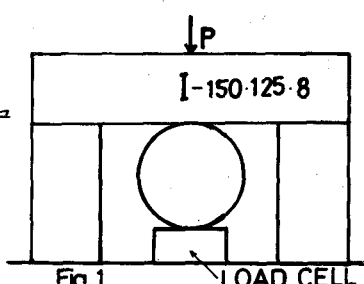
破壊源探査の目的で、4-ch.構成として、A-E のトランステューサーとして、P-ZT-5 ( $\phi 8\text{mm} \times 2\text{mm}$ ) を用いた。

A-E 信号は Fig.3 の 4 点 (A~D) より検出した。

なお、A-E 信号をアリエイブ  $20^\circ\text{C}$  20dB, 波高計測器を約40dB増幅倍率, 10kHz ~ 300kHz, 10mV以上のものをウェーブメモリーにて/  
sec の間隔でサンプリングして  
読み取り, 20000 倍に時間

スケールを拡大してパンチ - T: P-ZT-5 P: プリアンプ FC: カウント  
ゲー D: 波高計測器 W: ウェーブメモリー C: オシロスコープ D(-2, 15, -5)  
ゲーで記録した。記録紙上で, R: レコード

$1\text{mm} \text{ or } 1\text{mm} \text{ または } 5\text{mm}$  とした。



なる、試験では荷重を十分にして、ノイズを極力減少せらる一方、常時オシロスコープでAE信号を確認のうえ、記録した。  
3 破壊源の精度検査

AE信号の特性、AE波(弹性波の弹性速度)、破壊源探査の精度(計算方法の精度も同時に含むれしハタ)などを確認する目的で、供試体表面の数点から50KHzまでは100KHzの弹性波信号を入れ、これを記録計算して、供試体Aに関する例を表-1に示す。はが、弹性波速度(纵波)  $V_p = 3700 \text{ m/s}$  である。

この結果、信号源  $P_1, P_2$  を除けば、精度は約15mm以内のこととなる。これは、トランステューカー径の2倍程度といふことであり、やむを得ない誤差であろう。だが信号源  $P_3$  は  $P = 0$  面上、  $P_4, P_5$  は反対側の面上にあり、前者はトランステューカー  $A \sim C$ 、後者は  $D$  と同じ平面上にあるため、横波は検出されない。表中の値は纵波によるとして算出したものであり、比較の対象となりないか参考のため掲げておいた。

#### 4 試験結果との検討

全ての供試体シリーズについて述べる結果がつかないので、以下では、A供試体に関する結果だけについて述べる。

i) 荷重-ひずみ(中央部)曲線と、破壊源探査のため検出AE信号の発生点をFig-4に示す。

ii) 荷重-AE頻度(10秒間毎のAE回数)曲線をFig-5に示す。

iii) 破壊源探査の結果をFig-6に示す。

Fig-4より、供試体は变形が十分制御されて載荷されていきことが分かる。中央部にヘータクラックが認められ以後で急激には破壊しなかった。Fig-5より、低荷重時のAEは加压盤と供試体の接触部に生じたもの(供試体と加压盤との不整合などによる)であり、8t後急増は割裂かわすかは荷重増加急激に起ることを示して

いる。Fig-6は破壊は必ずしも最終破断面だけに生ずるものではないことを示してある。

#### 5.おわりに

以上の結果から、AE法は優れた非破壊試験法であるとか分かる。今後の活用が期待されよう。

	信号源の座標	信号源測定座標
$P_1$	(-7.5, 6.0, 0.0)	(-6.1, 6.0, 0.5)
$P_2$	(-3.8, 11.0, 6.5)	(-2.2, 10.9, 6.9)
$P_3$	(7.5, 1.0, 0.0)	(7.8, 2.0, -0.3)
$P_4$	(0.0, 7.5, -7.5)	(-0.3, 6.9, -8.1)
$P_5$	(0.0, 0.0, 0.0)	(-0.1, 1.0, 0.2)
$P_6$	(0.0, 15.0, 0.0)	(0.6, 12.6, 0.31)

表1

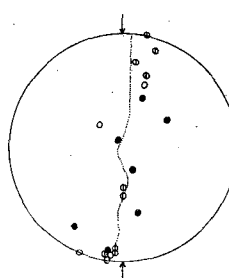
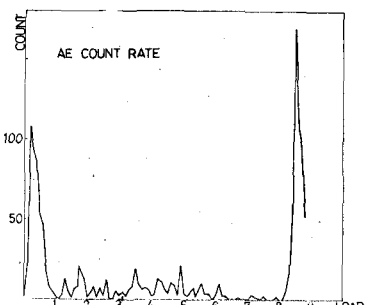
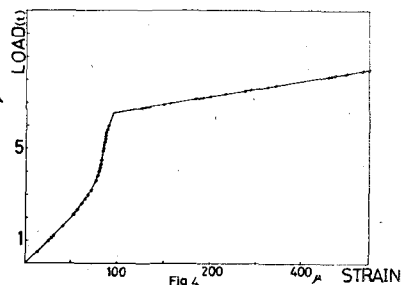
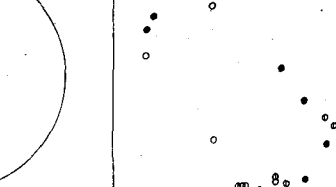


Fig-6



O: 0<P<40, ●: 40<P<70, □: 70<P